

中部電力 正員 広田 敏
中部電力 正員 大野 定利

1. まえがき

高速射流の減勢方法としては、地形、流量、フルード数、周辺環境等の関係から各種の減勢工が考えられ、跳水式、落水式、スキーマソフ式、衝撃型、格子型、立坑型等があげられる。

この内、立坑型減勢工は、①流量の適用範囲が広く、省電力した流況が得られる。②平面形状が小さく用地的に有利である。③余水路末端敷高と放流水位をそれぞれ独立に選べ、その時の高低差を立坑の長さで調整できる。④余水路方向に対する放流水角度を自由に選べることができる。等の特徴を有し、近年における騒音等に対する環境問題の深刻化ならびに立地条件の厳しさを考慮すれば、今後、中規模減勢工の主流になるものと考えられるが、この種の減勢工設計手法に関する研究は比較的少ない。^{※1)}

本報告は立坑型減勢工の水理設計に必要な減勢室の大きさならびに形状について実験的に検討したものであり、減勢室容量は余水の保有エネルギー水頭および流量との演算に與するものと解釈して実験式を提案した。

2 実験装置および方法

装置は図1に示すよう、長さ3.5m、幅1.0m、深さ1.5m(最大)の透明塗装ビニル製水槽で行ない、模型への給水は口径200mmの水中ポンプにより流量測定用のベンチエリーパー管(Φ200mm)を経由させたのち鋼製圧力タンクに導き、落差調整用ガイドパイプの先端に取付けた射出用ノズル(端寸径76mm、Φ133mm)で減勢室に落下させた。

実験は図2に示す減勢室形状とし、先ず任意に設定した長さ l_2 、深さ h_2 、幅 W に対して減勢可能な限界流量 Q を求めた。限界流量とは減勢室内で安定した水立上昇が生じ、飛散しない限界の流量である。次にこの Q に対して、落下水上流側長さ l_3 、流出部長さ l_1 および減勢室内水位 h_0 をそれぞれ求めた。 l_3 が過小であれば落下水上流側の水位が局部的に上昇し、飛散するため飛散しない限界の長さとした。

また落下水の保有エネルギー水頭を変化させるため、射出用ノズルの口径 d_0 および高低差 H_0 を変化させ、射出端流速 v_0 はノズル断面積から換算した。本実験の主な実験条件は表1に示す通りであるが、 $v_0 = 2.0 \sim 9.0 \text{ m/s}$, $Q = 10 \sim 60 \text{ l/s}$ の範囲で行った。

3 減勢室の大きさ

図3に示す流量 Q 、直径 d (衝突直角)の落下水が、水路幅 W の水平床に v_0 の速度で衝突する場合、衝突の直後にベルヌーイの定理を適用すれば次式で与えられる。

$$E = h_2 + v_0^2/(2g) + h_f \quad (1)$$

ここに、 E : 落下水の保有エネルギー水頭($=v_0^2/(2g)$)、 h_2 : 衝突後の水深、 v_0 : 衝突後の流速、 h_f : 衝突による損失エネルギー水頭。

また、連続の関係は、 $Q = h_2 \cdot W \cdot v_0$ であり(1)式に代入して両辺を h_2 で微分すれば、 $h_f = 0$ の時、

$$\frac{\Delta E}{\Delta h_2} = 1 - \frac{Q^2}{g \cdot d^2 \cdot h_2^3} \quad (2)$$

となり、 $\Delta E / \Delta h_2 = 0$ の時、 $h_2 = \sqrt[3]{(Q/d)^2/g}$ である。即ち h_2 が限界水深の時を表わし、このような h_2 と E との無次元比 X を次式で与え、これを落下水の落下指数と仮称した。

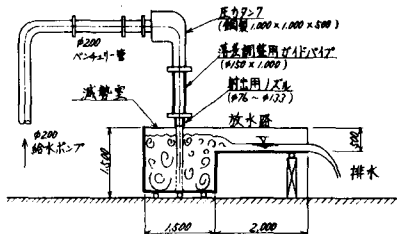


図1 実験装置

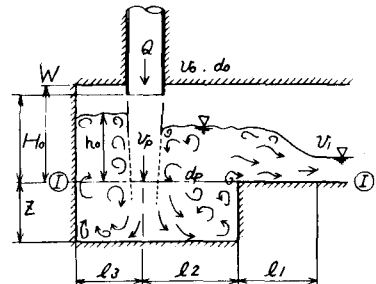


図2 減勢室形状

表1 実験条件

$Q(\text{l/s})$	$l_3(\text{m})$	$l_2(\text{m})$
10~60	0.1~0.9	
$B(\text{m})$	0.15~0.55	$H_0(\text{m})$ 0.3~0.9 (3種)
$Z(\text{m})$	0.2~0.7	$d_0(\text{cm})$ 7.6~13.3 (+)
$l_1(\text{m})$	0.3~0.4	$v_0(\text{m/s})$ 2.0~9.0
$l_2(\text{m})$	0.3~0.8	

$$X = \sqrt[3]{(Q/d)^2/g} / E \quad (3)$$

図2に示した減勢室に流量Q、高差H₀、射出端流速(立坑末端流速)U₀が落する場合、⑦～⑦断面における保有エネルギー水頭E_p、仮想流速U_p、仮想直径d_pは次式で与えられる。

$$\left. \begin{aligned} E_p &= U_0^2 / (2g) + H_0 = U_p^2 / (2g) \\ U_p &= \sqrt{U_0^2 + 2gH_0}, \quad d_p = \sqrt{1.273 Q / U_p} \end{aligned} \right\} \quad (4)$$

仮想流速とは、初速U₀で自由落する場合の落過程における抵抗を無視した流速で、その時の円形換算直径を仮想直径と仮称したもので、

E_p=E、U_p=U、d_p=d にて、(3)式で示される落指數Xと減勢室容積との關係を求める。

図4は、横軸に落指數X、縦軸に減勢室容積比Y_b=(l₂+l₃)Z·B/E_p³をとり、1.43≤B/d_p≤7.45の範囲に対する実験値をプロットしたもので、最小二乗法により整理すれば次式で与えられる。

$$Y_b = 8.847 X^{3.297} \quad (5)$$

同様に落下点下流側の容積比Y_a=l₂·Z·B/E_p³に対して、

$$Y_a = 5.705 X^{3.350} \quad (6)$$

となり、これら2つの關係が成立するZ/Bおよびl₂/Bの適用範囲は、図5に示すように次式で与えられる。

$$\left. \begin{aligned} 0.553 &\leq Z/B \leq 2.041 \\ 0.990 &\leq l_2/B \leq 2.085(Z/B) \\ 1.019(Z/B) &\leq l_2/B \leq 1.328 \end{aligned} \right\} \quad (7)$$

一方、流出部長さl₁および減勢室内水位h₀は図6に示すように

$$\left. \begin{aligned} l_1/B &= 1.182(Z/B) \\ h_0/B &= 0.948(Z/B) \end{aligned} \right\} \quad (8)$$

となり、減勢室の高さWは、実験での流況を考慮して、W=1.3h₀程度見込めば、水理設計上、支障ないものと判断された。

4まとめ

減勢工の設計に関する、今回提案した実験式を適用すれば、次の通りである。



例えば、 $Q = 46 \text{ m}^3/\text{s}$, $U_0 = 35.8 \text{ m/s}$, $H_0 = 7.6 \text{ m}$ に対する減勢室形状は、 $Z/B = 1.167$, $l_2/B = 1.250$ とした場合、 $B = 6.0 \text{ m}$, $Z = 7.0 \text{ m}$, $l_1 = 8.4 \text{ m}$, $l_2 = 7.6 \text{ m}$, $l_3 = 5.9 \text{ m}$, $h_0 = 6.6 \text{ m}$, $W = 6.6 \text{ m}$ となる。

今後、減勢室の圧力特性などにエネルギー減勢率等について、実験による検討を加えて明らかにしたい。なお本研究に際し、電力中央研究所、九岡計氏、福原革一氏の御指導、御協力を得たことを深謝する。

[参考文献]※1) 福原革一：読書発電所水槽余水路減勢工の水理検討、電力中央研究所報告

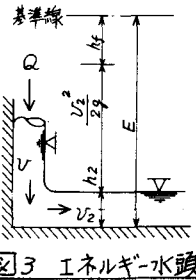
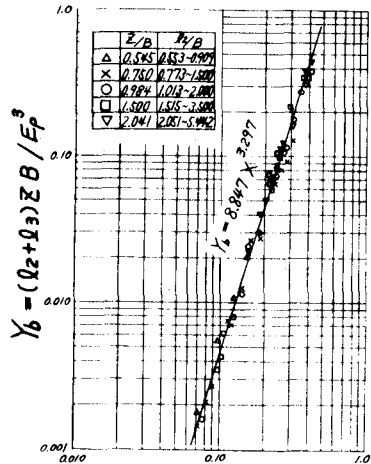


図3 エネルギー水頭



$$Y_b = 8.847 X^{3.297}$$

図4 減勢室容積

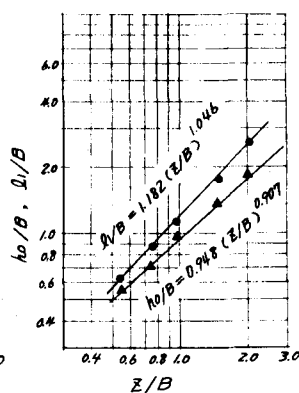
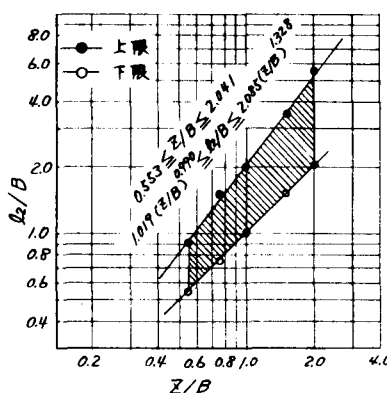


図5 Z/B, l2/Bの適用範囲

図6 h0/B, l1/Bの関係